© VitisDb 2010-2016 - ISSN 2282-006x

# Aleatico 102

Scalabrelli G., D'Onofrio C., Ferroni G., 2013. Aleatico n (102), var Aleatico. In: Italian Vitis Database, www.vitisdb.it, ISSN 2282-006X

**release** 08/06/2015, **ultimo aggiorn.** 08/06/2015 **url** http://vitisdb.it/accessions/show/3184

## Informazioni gestite da

Dipartimento di Scienze Agrarie, Alimentari e Agro-ambientali (DiSAAA-a) - Università di Pisa

## Informazioni generali

**nome** Aleatico 102
**codice** ITA419-2
**nazione di selezione** Italia
**regione di selezione** Toscana
**provincia di selezione** Livorno
**località di selezione** Elba
**istituzione custode** Dipartimento di Scienze Agrarie, Alimentari e Agro-ambientali (DiSAAA-a) - Università di Pisa
**collezione** Acquabona (Elba)

## Varietà & clone

**tipo di origine** spontanea
**genere** Vitis
**specie** Vitis vinifera
**sub specie** sativa
**varietà** Aleatico
**codice della varietà** IVD-var_7
**clone** non disponibile
**trueness to type** accertato con rilievi morfologici e microsatelliti

## Trueness to type

### *True-name*

confermato **si**

#### *bibliografia correlata (1)*

| autori | anno | titolo | rivista | citazione |
|---|---|---|---|---|
| Breviglieri N., Casini E. | 1962 | Aleatico | | Ministero dell'Agricoltura e delle Foreste - Principali vitigni da vino coltivati in Italia - Volume II |

### *Trueness to type accertato con rilievi morfologici (ampelografici)*

accertamento con rilievi morfologici (ampelografici) **accertato**

#### *bibliografia correlata (1)*

| autori | anno | titolo | rivista | citazione |
|---|---|---|---|---|
| Breviglieri N., Casini E. | 1962 | Aleatico | | Ministero dell'Agricoltura e delle Foreste - Principali vitigni da vino coltivati in Italia - Volume II |

### *Trueness to type accertato con microsatelliti*

accertamento con microsatelliti **accertato**

#### *bibliografia correlata (1)*

| autori | anno | titolo | rivista | citazione |
|---|---|---|---|---|
| Scalabrelli G., D'Onofrio C. | 2012 | L'Aleatico dai mille profumi | | Scalabrelli G., D'Onofrio C., 2012. L'Aleatico dai mille profumi. Ed Debatte, Livorno pagg.160. ISBN: 978-88-6297-128-7 |

loci confrontati **14**

loci identici **14**

discrepanze **no - Comparato con il clone francese 785-ENTAV15**

© VitisDb 2010-2016 - ISSN 2282-006x

## Profilo microsatellite standardizzato

| loci: | loci predefiniti ( 9 ) | | | | | | | | | | | | | | | | | |
|---|---|---|---|---|---|---|---|---|---|---|---|---|---|---|---|---|---|---|
| locus SSR: | VVS2 | | VVMD5 | | VVMD7 | | VVMD27 | | VrZAG62 | | VrZAG79 | | VVMD25 | | VVMD28 | | VVMD32 | |
| allele: | A1 | A2 | A1 | A2 | A1 | A2 | A1 | A2 | A1 | A2 | A1 | A2 | A1 | A2 | A1 | A2 | A1 | A2 |
| dimensione: | 133 | 135 | 225 | 227 | 239 | 249 | 179 | 194 | 186 | 196 | 249 | 255 | 250 | 256 | 239 | 249 | 265 | 273 |

**Vi sono altri loci consultabili online**

## Immagini

**germoglio**

**germoglio pagina superiore**

**germoglio pagina inferiore**

**gemma**

**foglia**

**foglia pagina superiore**

**foglia pagina inferiore**

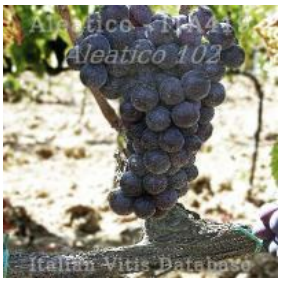


**grappolo**

**acino**

**vinacciolo**

## Ampelografia

| OIV | descrizione | valore | | immagini |
|---|---|---|---|---|
| 001 | Giovane germoglio: apertura dell'apice | 5 | completamente aperto | |
| 003 | Giovane germoglio: intensità della pigmentazione antocianica dei peli striscianti dell'apice | 3 / 5 | bassa / media | |
| 004 | Giovane germoglio: densità dei peli striscianti dell'apice | 5 | media | |
| 006 | Germoglio: portamento (prima della legatura) | 3 | semi-eretto | |
| 007 | Germoglio: colore del lato dorsale degli internodi | 2 | verde e rosso | |

| | | | | |
|---|---|---|---|---|
| 008 | Germoglio: colore del lato ventrale degli internodi | 1 | verde | |
| 016 | Germoglio: numero di viticci consecutivi | 1 | 2 o meno | |
| 051 | Foglia giovane: colore della pagina superiore del lembo (4 a foglia) | 1 / 4 | verde / ramato - rosso | |
| 053 | Foglia giovane: densità peli striscianti tra le nervature principali della pagina inferiore (4a foglia) | 3 | bassa | |
| 067 | Foglia adulta: forma del lembo | 3 | pentagonale | |
| 068 | Foglia adulta: numero dei lobi | 2 / 3 | tre / cinque | |
| 070 | Foglia adulta: distribuzione pigmentazione antocianica nervature principali pagina superiore | 1 | assente | |
| 072 | Foglia adulta: depressioni del lembo | 1 | assenti o molto deboli | |
| 074 | Foglia adulta: profilo del lembo in sezione trasversale | 1 / 3 | piano / involuto | |
| 075 | Foglia adulta: bollositá della pagina superiore del lembo | 3 | bassa | |
| 076 | Foglia adulta: forma dei denti | 4 | un lato concavo, un lato convesso | |
| 079 | Foglia adulta: grado di apertura / sovrapposizione dei bordi del seno peziolare | 3 / 5 | aperto / chiuso | |
| 080 | Foglia adulta: forma della base del seno peziolare | 3 | a V | |
| 081-1 | Foglia adulta: denti del seno peziolare | 1 | assenti | |
| 081-2 | Foglia adulta: base del seno peziolare delimitata dalla nervatura | 1 | non delimitata | |
| 083-2 | Foglia adulta: denti nei seni laterali superori | 1 | assenti | |
| 084 | Foglia adulta: densità dei peli striscianti tra le nervature principali sulla pagina inferiore del lembo | 1 | nulla o molto bassa | |
| 087 | Foglia adulta: densità dei peli eretti sulle nervature principali della pagina inferiore del lembo | 1 | nulla o molto bassa | |
| 094 | Foglia adulta: profondità dei seni laterali superiori | 5 | medio | |
| 151 | Fiore: organi sessuali | 3 | stami completamente sviluppati e gineceo completamente sviluppato | |
| 152 | Infiorescenza: livello d'inserzione della 1 a infiorescenza | 2 | 3° e 4° nodo | |
| 155 | Tralcio: fertilità delle gemme basali (gemme 1-3) | 5 | media (1,1-1,3) | |
| 202 | Grappolo: lunghezza (escluso il peduncolo) | 3 | corto | |
| 204 | Grappolo: compattezza | 3 / 5 | spargolo / medio | |
| 206 | Grappolo: lunghezza del peduncolo del grappolo principale | 3 | corto | |
| 208 | Grappolo: forma | 1 | cilindrico | |
| 209 | Grappolo: numero di ali del grappolo principale | 2 | 1 - 2 ali | |
| 220 | Acino: lunghezza | 3 / 5 | corto / medio | |

| | | | |
|---|---|---|---|
| 221 | Acino: larghezza | 3 / 5 | stretto / medio |
| 223 | Acino: forma | 2 | sferoidale |
| 225 | Acino: colore della buccia | 6 | blu nero |
| 231 | Acino: intensità della pigmentazione antocianica della polpa | 1 | nulla o molto debole |
| 235 | Acino: consistenza della polpa | 1 | molle |
| 236 | Acino: particolarità dell'aroma | 2 | aroma moscato |
| 241 | Acino: sviluppo dei vinaccioli | 3 | completo |

## Ampelometria

### *OIV*

nessun descrittore presente per Aleatico 102

### *Superampelo*

| distanze | | |
|---|---|---|
| descrittore | valore | deviazione standard |
| Distanza dal seno peziolare al seno superiore sinistro | 49.590 | 10.057 |
| Distanza dal seno peziolare al seno superiore destro | 54.180 | 12.992 |
| Distanza dal seno peziolare al seno inferiore sinistro | 55.410 | 9.434 |
| Distanza dal seno peziolare al seno inferiore destro | 56.670 | 8.565 |
| Lunghezza della nervatura N5' | 22.820 | 4.323 |
| Lunghezza della nervatura N5 | 25.010 | 3.969 |
| Nervatura N3', lunghezza dal seno peziolare alla nervatura N4' | 11.300 | 2.202 |
| Nervatura N3, lunghezza dal seno peziolare alla nervatura N4 | 10.160 | 1.513 |
| Lunghezza della foglia | 176.500 | 23.899 |
| Larghezza della foglia | 166.520 | 23.778 |
| Lunghezza della nervatura N4' | 45.840 | 5.144 |
| Lunghezza della nervatura N4 | 49.280 | 5.413 |
| Lunghezza della nervatura N1 | 124.410 | 17.538 |
| Distanza tra gli estremi delle nervature N2 e N2' | 163.640 | 25.129 |
| Lunghezza della foglia compreso il picciolo | 215.060 | 27.810 |
| Lunghezza del picciolo | 90.630 | 13.476 |
| Larghezza del seno peziolare / Distanza tra i punti SP e SP' | -10.460 | 5.646 |
| Lunghezza della nervatura N2 | 109.010 | 14.655 |
| Distanza tra gli estremi delle nervature N3 e N3' | 138.750 | 12.425 |
| Distanza tra gli estremi delle nervature N4 e N4' | 53.110 | 11.420 |
| Lunghezza della nervatura N3' | 70.690 | 10.974 |
| Lunghezza della nervatura N2' | 106.368 | 13.970 |
| Lunghezza della nervatura N3 | 73.690 | 7.567 |

| angoli | | |
|---|---|---|
| descrittore | valore | deviazione standard |
| Angolo tra N1 e N2’ misurato alla prima biforcazione | 60.210 | 4.869 |
| Angolo tra N1 e N2 misurato alla prima biforcazione | 60.920 | 4.765 |
| Angolo tra N2 e N3 misurato alla prima biforcazione | 44.130 | 7.654 |
| Angolo tra N3’ e N4’ | 58.520 | 8.395 |
| Angolo tra N1 e N2 misurato agli estremi delle nervature | 51.910 | 7.203 |
| Angolo tra N2’ e N3’ misurato alla prima biforcazione | 48.440 | 4.473 |
| Angolo tra N3 e N4 alla prima biforcazione di N3 | 54.680 | 7.950 |
| Angolo tra N2’ e N3’ misurato agli estremi delle nervature | 55.310 | 7.282 |
| Angolo tra N3 e N4 misurato agli estremi delle nervature | 46.550 | 5.813 |
| Angolo tra N1 e N2’ misurato agli estremi delle nervature | 47.110 | 6.630 |
| Angolo tra N2 e N3 misurato agli estremi delle nervature | 54.550 | 5.559 |
| Angolo tra D e D’ con centro in N1 | 94.680 | 15.144 |
| Angolo tra S e S’ con centro in N1 | 44.060 | 20.050 |
| Angolo tra N3’ e N4’ misurato agli estremi delle nervature | 45.590 | 6.431 |
| Angolo di apertura del seno peziolare misurato a SP e SP’ | 26.030 | 16.154 |
| Angolo tra I e I’ con centro in N1 | 46.650 | 9.365 |

| rapporti | | |
|---|---|---|
| descrittore | valore | deviazione standard |
| Rapporto tra l’altezza e la base del dente all’estremità della nervatura N4’ | 0.663 | 0.127 |
| Rapporto tra l’altezza e la base del dente all’estremità della nervatura N2 | 0.551 | 0.109 |
| Rapporto tra la somma degli angoli a’ + b’ e la somma della distanza tra il seno peziolare e il seno superiore sinistro OS’ e il seno peziolare e il seno inferiore sinistro OI’ | 109.870 | 7.985 |
| Rapporto tra l’altezza e la base del dente all’estremità della nervatura N4 | 0.608 | 0.176 |
| Rapporto tra l’altezza e la base del dente all’estremità della nervatura N2’ | 0.533 | 0.100 |
| Rapporto tra la lunghezza della nervatura N5 e la lunghezza della nervatura N1 | 0.177 | 0.056 |
| Rapporto tra la lunghezza della nervatura N4’ e la lunghezza della nervatura N1 | 0.385 | 0.038 |
| Rapporto tra la somma degli angoli a + b e la somma della distanza tra il seno peziolare e il seno superiore destro OS e il seno peziolare e il seno inferiore destro OI | 108.480 | 8.434 |
| Rapporto tra la lunghezza della nervatura N5’ e la lunghezza della nervatura N1 | 0.181 | 0.031 |
| Rapporto tra la lunghezza della nervatura N4 e la lunghezza della nervatura N1 | 0.371 | 0.041 |
| Rapporto tra la lunghezza della nervatura N3' e la lunghezza della nervatura N1 | 0.617 | 0.065 |
| Rapporto tra Lunghezza e larghezza della foglia | 1.082 | 0.078 |
| Rapporto tra la lunghezza del picciolo OP e la lunghezza della nervatura N1 | 0.744 | 0.075 |
| Prodotto di Lunghezza e larghezza della foglia | 34514.920 | 4324.850 |
| Rapporto tra la distanza dal seno peziolare al seno inferiore destro OI e la lunghezza della nervatura N3 | 0.825 | 0.068 |
| Rapporto tra la distanza dal seno peziolare al seno inferiore sinistro OI’ e la lunghezza della nervatura N3’ | 0.822 | 0.052 |
| Rapporto tra la distanza dal seno la lunghezza della nervatura N2 | 0.754 | 0.115 |
| Rapporto tra la distanza dal seno peziolare la lunghezza della nervatura N2’ | 0.744 | 0.069 |
| Rapporto tra la lunghezza della nervatura N3 e la lunghezza della nervatura N1 | 0.619 | 0.081 |
| Rapporto tra la lunghezza della nervatura N2 e la lunghezza della nervatura N1 | 0.850 | 0.090 |
| Rapporto tra la lunghezza della nervatura N2’ e la lunghezza della nervatura N1 | 0.855 | 0.067 |